Laboratorium Badań Środowiskowych
ul. Józefa Piusa Dziekońskiego 3
00-728 Warszawa
e-mail: Laboratorium@networks.pl

AB 419

S P R A W O Z D A N I E 9217/2022/OS
Z POMIARÓW PÓL ELEKTROMAGNETYCZNYCH
WYKONANYCH DLA POTRZEB OCHRONY ŚRODOWISKA

Badany obiekt: Instalacja radiokomunikacyjna T-Mobile Polska S.A.

Numer i nazwa: 24589 (43008N!) GEC_ELK_WSCHOD

Adres: EŁK, TĘCZOWA 7,Powiat ełcki, WOJ. WARMIŃSKO-MAZURSKIE

Data wykonania pomiarów: 2023-02-10

Sprawozdanie z badań bez pisemnej zgody laboratorium nie może być powielane inaczej niż w całości.
Wynik przedstawione w niniejszym sprawozdaniu odnoszą się wyłącznie do badanego obiektu i do warunków i konfiguracji urządzeń w dniu wykonywania pomiarów.

1. **Właściciel badanego obiektu:**
   T-Mobile Polska S.A., ul. Marynarska 12, 02-674 Warszawa

2. **Zleceniodawca:**
   T-Mobile Polska S.A., ul. Marynarska 12, 02-674 Warszawa

3. **Przedstawiciel zleceniodawcy:**
   NetWorkS! Sp.z o.o.

4. **Zakres zlecenia:**
   Wykonanie badania i opracowanie sprawozdania z pomiarów natężenia pola elektrycznego i pola magnetycznego dla instalacji radiokomunikacyjnej T-Mobile Polska S.A. zlokalizowanej w miejscowości EŁK, TĘCZOWA 7.

5. **Cel zlecenia:**
   Wykonanie pomiarów pól elektomagnetycznych w otoczeniu instalacji radiokomunikacyjnej 24589 (43008N!) GEC_ELK_WSCHOD w odniesieniu do wymagań określonych w *Rozporządzeniu Ministra Klimatu z dnia 17 lutego 2020 r. w sprawie sposobów sprawdzania dotrzymania dopuszczalnych poziomów pól elektromagnetycznych w środowisku (Dz. U. 2020, poz. 258* z późn. zm. w Dz.U. 2022 poz. 1121*).*

6. **Pomiary zostały wykonane przez:**
   Głowacki Konrad
   Stanilewicz Tomasz

7. **Informacje o źródłach pól elektromagnetycznych**

7.1. Sposób identyfikacji badanych źródeł pól elektromagnetycznych

Identyfikacji źródeł i parametrów technicznych dokonano na podstawie analizy dokumentacji dotyczącej zlecenia oraz obserwacji miejsca wykonywania badań.

7.2. Opis miejsca zainstalowania anten i urządzeń technicznych. Opis obiektu badań i jego otoczenia

Instalacja radiokomunikacyjna zlokalizowana jest na dachu. Anteny zawieszono na masztach usytowanych na dachu budynku. Urządzenia sterujące oraz zasilające zainstalowano w pomieszczeniu Wewnatrz budynku. Wokół instalacji znajduje się miasto.
Instalacja radiokomunikacyjna jest obiektem bezobsługowym. Okresowe stanowiska pracy związane są z prowadzonymi w zależności od potrzeb konserwacjami, przeglądami, strojeniem i naprawami.

Sprawozdanie z badań bez pisemnej zgody laboratorium nie może być powielane inaczej niż w całości.
Wynik przedstawione w niniejszym sprawozdaniu odnoszą się wyłącznie do badanego obiektu i do warunków i konfiguracji urządzeń w dniu wykonywania pomiarów.

7.3. Parametry techniczne źródła pola elektromagnetycznego

Dane przedstawiające maksymalne parametry pracy instalacji przekazane przez zleceniodawcę:

Parametry systemu nadawczo-odbiorczego:

Charakterystyka promieniowania	kierunkowa
Rzeczywisty czas pracy [h/dobę]	24
Warunki pracy	znamionowe
Rodzaj wytwarzanego pola	stacjonarne

Lp.	Częstotliwość lub zakresy częstotliwości pracy [MHz]	Typ/producent anteny	liczba anten	Azymut [°]	kąt pochylenia* [°]	Wysokość środka elektrycznego anteny [m n.p.t]	Równoważna moc promieniowana izotropowo (EIRP) [W]
1	800/900/1800/2100/2600	ASI4518R37v07 Huawei	1	70	3/3/3/3/3	34.5	19957
2	800/900/1800/2100/2600	ASI4518R37v07 Huawei	1	190	3/3/3/3/3	34.5	19957
3	800/900/1800/2100/2600	ASI4518R37v07 Huawei	1	310	3/3/3/3/3	34.5	19957

* wskazane wartości kąta pochylenia anten, zgodnie z informacją uzyskaną od zleceniodawcy, są wartościami stałymi

Parametry radiolinii:

Charakterystyka promieniowania	kierunkowa
Rzeczywisty czas pracy [h/dobę]	24
Warunki pracy	znamionowe
Rodzaj wytwarzanego pola	stacjonarne

Lp.	Linia radiowa			Antena			
	Typ/ Producent	Częstotliwość pracy [GHz]	Równoważna moc promieniowana izotropowo (EIRP) [W]	Typ/ producent	Średnica anteny [m]	Azymut [°]	Wysokość zainstalowania n.p.t [m]
1.	NP ERICSSON RAU2X 23GHZ 28MHz NP ERICSSON ML 6352 R2+ 70/80GHz 250MHz Ericsson	23/80	1149/5371	ANT2/2_0.6 23/80 HP/HP Ericsson	0.6	0	32
2.	ERICSSON CN510 6363 Harris Stratex	38	4	ANT3_0.3 38 HP/HPX Ericsson	0.3	112	32.2
3.	NEC iPasolink 200 Harris Stratex	38	4	VHLP1-38 Andrew	0.3	151	36.3
4.	ERICSSON CN510 6363 Harris Stratex	38	11	ANT3_0.3 38 HP/HPX Ericsson	0.3	188	31.6
5.	NEC iPasolink 200 Harris Stratex	38	12	VHLP1-38 Andrew	0.3	225	36.2
6.	Ericsson CN510 RAU2X Harris Stratex	38	13	ANT2_0.3 38 HP Andrew	0.3	226	36
7.	ERICSSON CN510 6363 Harris Stratex	38	2	ANT3_0.3 38 HP/HPX Ericsson	0.3	227	32.9
8.	ERICSSON CN510 6363 Harris Stratex	38	13	ANT3_0.3 38 HP/HPX Ericsson	0.3	229	32.5

Sprawozdanie z badań bez pisemnej zgody laboratorium nie może być powielane inaczej niż w całości.
Wynik przedstawione w niniejszym sprawozdaniu odnoszą się wyłącznie do badanego obiektu i do warunków i konfiguracji urządzeń w dniu wykonywania pomiarów.

Charakterystyka promieniowania	kierunkowa
Rzeczywisty czas pracy [h/dobę]	24
Warunki pracy	znamionowe
Rodzaj wytwarzanego pola	stacjonarne

Lp.	Linia radiowa			Antena			
	Typ/ Producent	Częstotliwość pracy [GHz]	Równoważna moc promieniowana izotropowo (EIRP) [W]	Typ/ producent	Średnica anteny [m]	Azymut [°]	Wysokość zainstalowania n.p.t [m]
9.	NEC iPasolink 200 Harris Stratex	38	15	VHLP1-38 Andrew	0.3	272	35.6
10.	NP ERICSSON ML 6352 R2+ 70/80GHz 250MHz Ericsson	80	2819	UKY 230 41/14H Ericsson	0.3	304	36

7.4 Inne źródła pól elektromagnetycznych

Na podstawie informacji otrzymanych od użytkownika oraz obserwacji otoczenia miejsca wykonywania pomiarów stwierdzono występowanie innych źródeł pola-EM, pracujących w systemie: telefonii komórkowej (800MHz-2600MHz),linii radiowych (5GHz – 90GHz), które istotnie wpływają na wyniki pomiarów.

8. Opis pomiarów

8.1. Metoda badań

Zgodna z rozporządzeniem Ministra Klimatu z dnia 17 lutego 2020 r. w sprawie sposobów sprawdzania dotrzymania dopuszczalnych poziomów pól elektromagnetycznych w środowisku (Dz. U. 2020, poz. 258 z późn. zm. w Dz.U. 2022 poz. 1121), określona w pkt 25 ppkt 1 załącznika do niniejszego rozporządzenia.

Zgodnie z art. 122a ust. 1b ustawy Prawo Ochrony Środowiska, w przypadku wprowadzenia na części albo całym terytorium Rzeczypospolitej Polskiej stanu nadzwyczajnego, o którym mowa w art. 228 ust. 1 Konstytucji Rzeczypospolitej Polskiej z dnia 2 kwietnia 1997 r. (Dz. U. poz. 483, z 2001 r. poz. 319, z 2006 r. poz. 1471 oraz z 2009 r. poz. 946), lub stanu zagrożenia epidemicznego lub stanu epidemii, o których mowa w art. 46 ustawy z dnia 5 grudnia 2008 r. o zapobieganiu oraz zwalczaniu zakażeń i chorób zakaźnych u ludzi (Dz. U. z 2019 r. poz. 1239, z późn. zm.8)), pomiarów , nie przeprowadza się w lokalach mieszkalnych oraz w lokalach użytkowych zlokalizowanych na terytorium objętym stanem nadzwyczajnym, stanem zagrożenia epidemicznego lub stanem epidemii.
W związku z obecnie obowiązującym stanem zagrożenia epidemicznego, pomiarów nie wykonano w lokalach mieszkalnych oraz w lokalach użytkowych zlokalizowanych w obszarze pomiarowym przedmiotowej instalacji radiokomunikacyjnej.

8.2. Termin pomiarów i warunki środowiskowe

Podczas wykonywania pomiarów pól elektromagnetycznych nie występowały opady atmosferyczne. Wyniki pomiaru parametrów pogodowych przedstawia poniższa tabela:

Data [rrrr-mm- dd]	Godzina [hh:mm-hh:mm]	Warunki środowiskowe			
		Temperatura [°C]		Wilgotność względna [%]	
		Przed pomiarem	Po pomiarach	Przed pomiarem	Po pomiarach
2023-02-10	08:10-09:20	0.2	0.4	65.0	66.0

Przedstawione wyżej warunki środowiskowe, występujące podczas wykonywania pomiarów pól elektromagnetycznych, są zgodne ze specyfikacją techniczną użytego zestawu pomiarowego.

8.3. Warunki pracy urządzeń nadawczych

Podczas pomiarów w przypadku uzyskania wyniku pomiaru szerokopasmowego wykonanego zastosowaną metodą, dla zakresów częstotliwości od 10 MHz do 300 GHz, powiększonego o rozszerzoną niepewność pomiaru U dla współczynnika rozszerzenia k = 2 przekraczającego 70% najniższej dopuszczalnej wartości składowej elektrycznej lub magnetycznej pola dla

Sprawozdanie z badań bez pisemnej zgody laboratorium nie może być powielane inaczej niż w całości.
Wynik przedstawione w niniejszym sprawozdaniu odnoszą się wyłącznie do badanego obiektu i do warunków i konfiguracji urządzeń w dniu wykonywania pomiarów.

objętych pomiarami zakresów częstotliwości, uwzględnia się poprawki pomiarowe przekazane przez zleceniodawcę, umożliwiające uwzględnienie maksymalnych parametrów pracy instalacji zgodnie z pkt 7 załącznika do Rozporządzeniem Ministra Klimatu z dnia 17 lutego 2020 r. w sprawie sposobów sprawdzania dotrzymania dopuszczalnych poziomów pól elektromagnetycznych w środowisku (Dz. U. 2020, poz. 258 z późn. zm. w Dz.U. 2022 poz. 1121) zaznaczając, że wymagane jest wykonanie pomiaru z wykorzystaniem miernika selektywnego. W przypadku uzyskania wyniku pomiaru szerokopasmowego wykonanego zastosowaną metodą, dla zakresów częstotliwości od 10 MHz do 300 GHz, powiększonego o rozszerzoną niepewność pomiaru U dla współczynnika rozszerzenia k = 2 nieprzekraczającego 70% najniższej dopuszczalnej wartości składowej elektrycznej lub magnetycznej pola dla objętych pomiarami zakresów częstotliwości, nie uwzględnia się poprawek pomiarowych.

8.4. Wyposażenie pomiarowe

Zestaw pomiarowy służący do pomiaru natężenia składowej elektrycznej pola elektromagnetycznego złożony z szerokopasmowego miernika i sondy pomiarowej:

Oznaczenie miernika	Producent	Model	Numer fabryczny	Oznaczenie sondy	Producent	Model	Numer fabryczny
M-19	Narda Safety Test Solution	Miernik pól elektromagnetycznych NBM-550	H-0129	S-19	Narda Safety Test Solution	Sonda EF9091	A-0057

Mierniki natężenia pola elektromagnetycznego podlegają okresowemu sprawdzeniu zgodnie z procedurą wewnętrzną P-03 i PB-01. Świadectwo wzorcowania zestawu pomiarowego z dnia 20 maja 2021 o numerze LWiMP/W/134/21 wydane przez Politechnika Wrocławska.
Data ważności świadectwa wzorcowania: 20 maja 2023 (zgodnie z procedurą wewnętrzną P-03).

Oznaczenie miernika	Producent	Model	Numer fabryczny	Oznaczenie sondy	Producent	Model	Numer fabryczny
M-19	Narda Safety Test Solution	Miernik pól elektromagnetycznych NBM-550	H-0129	S-20	Narda Safety Test Solution	Sonda EF0391	D-1438

Mierniki natężenia pola elektromagnetycznego podlegają okresowemu sprawdzeniu zgodnie z procedurą wewnętrzną P-03 i PB-01. Świadectwo wzorcowania zestawu pomiarowego z dnia 20 maja 2021 o numerze LWiMP/W/134/21 wydane przez Politechnika Wrocławska.
Data ważności świadectwa wzorcowania: 20 maja 2023 (zgodnie z procedurą wewnętrzną P-03).

Termohigrometr:

Oznaczenie:	TH-12	Producent:	AZ INSTRUMENT CORP	Model:	Termohigrometr AZ8706

Data ważności świadectwa wzorcowania: 20 maja 2023 (zgodnie z procedurą wewnętrzną P-03).

Dalmierz:

Oznaczenie	Producent	Typ	Numer seryjny	Nr świadectwa wzorcowania	Data świadectwa wzorcowania
D-11	Leica	Dalmierz Leica Disto D510	1042957453	4609.22-M11-4180-1748/14	9 stycznia 2015

Data ważności świadectwa wzorcowania: 9 stycznia 2025 (zgodnie z procedurą wewnętrzną P-03).

Sprawozdanie z badań bez pisemnej zgody laboratorium nie może być powielane inaczej niż w całości.
Wynik przedstawione w niniejszym sprawozdaniu odnoszą się wyłącznie do badanego obiektu i do warunków i konfiguracji urządzeń w dniu wykonywania pomiarów.

9. Wyniki pomiarów

Pole elektryczne

Nr pionu	Opis umiejscowienia pionu (punktu) pomiarowego	Wysokość pomiaru [m]	Zmierzona wartość natężenia pola elektrycznego E [V/m][1,5]			Wartość natężenia pola elektrycznego powiększona o niepewność pomiaru [4] E [V/m]	Wskaźnikowa wartość poziomu emisji pól elektromagnetycznych WM_E[3]	Współrzędne geograficzne pionu (punktu) pomiarowego[2]
			Sonda S-19	Sonda S-20	SUMA			
1	GKP w odległości 31m od anteny sektorowej az. 70°	2.0	1.3	1.3	1.3	1.8	0.07	53°49'57.7" 22°22'6.2"
2	GKP w odległości 58m od anteny sektorowej az. 70°	2.0	1.7	1.7	1.7	2.4	0.09	53°49'58.1" 22°22'7.7"
3	GKP w odległości 82m od anteny sektorowej az. 70°	2.0	1.6	1.6	1.6	2.2	0.08	53°49'58.1" 22°22'9.1"
4	GKP w odległości 106m od anteny sektorowej az. 70°	0.3-2.0	<1.0*	<1.0*	<1.0*	1.4	0.05	53°49'58.4" 22°22'10.2"
5	GKP w odległości 29m od anteny radioliniowej az. 112°	0.3-2.0	<1.0*	<1.0*	<1.0*	1.4	0.05	53°49'57.4" 22°22'5.9"
6	GKP w odległości 56m od anteny radioliniowej az. 112°	0.3-2.0	<1.0*	<1.0*	<1.0*	1.4	0.05	53°49'57.0" 22°22'7.3"
7	GKP w odległości 71m od anteny radioliniowej az. 112°	0.3-2.0	<1.0*	<1.0*	<1.0*	1.4	0.05	53°49'57.0" 22°22'8.0"
8	GKP w odległości 6m od anteny radioliniowej az. 151°	0.3-2.0	<1.0*	<1.0*	<1.0*	1.4	0.05	53°49'57.0" 22°22'4.8"
9	GKP w odległości 27m od anteny radioliniowej az. 151°	0.3-2.0	<1.0*	<1.0*	<1.0*	1.4	0.05	53°49'56.6" 22°22'5.5"
10	GKP w odległości 5m od anteny radioliniowej az. 188°	0.3-2.0	<1.0*	<1.0*	<1.0*	1.4	0.05	53°49'57.0" 22°22'4.4"
11	GKP w odległości 25m od anteny radioliniowej az. 188°	2.0	1.3	1.3	1.3	1.8	0.07	53°49'56.3" 22°22'4.4"
12	GKP w odległości 2m od anteny sektorowej az. 190°	0.3-2.0	<1.0*	<1.0*	<1.0*	1.4	0.05	53°49'57.0" 22°22'4.4"
13	GKP w odległości 22m od anteny sektorowej az. 190°	2.0	1.5	1.5	1.5	2.1	0.08	53°49'56.6" 22°22'4.1"
14	GKP w odległości 32m od anteny sektorowej az. 190°	2.0	1.6	1.6	1.6	2.2	0.08	53°49'56.3" 22°22'4.1"
15	GKP w odległości 94m od anteny sektorowej az. 190°	0.3-2.0	<1.0*	<1.0*	<1.0*	1.4	0.05	53°49'54.1" 22°22'3.4"
16	GKP w odległości 31m od anteny radioliniowej az. 225°	0.3-2.0	<1.0*	<1.0*	<1.0*	1.4	0.05	53°49'56.6" 22°22'3.4"
17	GKP w odległości 50m od anteny radioliniowej az. 225°	0.3-2.0	<1.0*	<1.0*	<1.0*	1.4	0.05	53°49'55.9" 22°22'2.6"
18	GKP w odległości 71m od anteny radioliniowej az. 225°	0.3-2.0	<1.0*	<1.0*	<1.0*	1.4	0.05	53°49'55.6" 22°22'1.6"
19	GKP w odległości 74m od anteny	0.3-2.0	<1.0*	<1.0*	<1.0*	1.4	0.05	53°49'55.9" 22°22'1.2"

Sprawozdanie z badań bez pisemnej zgody laboratorium nie może być powielane inaczej niż w całości.
Wynik przedstawione w niniejszym sprawozdaniu odnoszą się wyłącznie do badanego obiektu i do warunków i konfiguracji urządzeń w dniu wykonywania pomiarów.

	radioliniowej az. 226°							
20	GKP w odległości 96m od anteny radioliniowej az. 226°	0.3-2.0	<1.0*	<1.0*	<1.0*	1.4	0.05	53°49'55.6" 22°22'0.1"
21	GKP w odległości 80m od anteny radioliniowej az. 227°	0.3-2.0	<1.0*	<1.0*	<1.0*	1.4	0.05	53°49'55.9" 22°22'0.8"
22	GKP w odległości 96m od anteny radioliniowej az. 227°	0.3-2.0	<1.0*	<1.0*	<1.0*	1.4	0.05	53°49'55.6" 22°22'0.1"
23	GKP w odległości 88m od anteny radioliniowej az. 229°	0.3-2.0	<1.0*	<1.0*	<1.0*	1.4	0.05	53°49'55.9" 22°22'0.5"
24	GKP w odległości 61m od anteny radioliniowej az. 272°	0.3-2.0	<1.0*	<1.0*	<1.0*	1.4	0.05	53°49'57.4" 22°22'1.2"
25	GKP w odległości 90m od anteny radioliniowej az. 272°	0.3-2.0	<1.0*	<1.0*	<1.0*	1.4	0.05	53°49'57.4" 22°21'59.4"
26	GKP w odległości 2m od anteny radioliniowej az. 304°	0.3-2.0	<1.0*	<1.0*	<1.0*	1.4	0.05	53°49'57.7" 22°22'4.1"
27	GKP w odległości 22m od anteny radioliniowej az. 304°	2.0	2.1	2.1	2.1	2.9	0.11	53°49'58.1" 22°22'3.0"
28	GKP w odległości 42m od anteny radioliniowej az. 304°	2.0	1.7	1.7	1.7	2.4	0.09	53°49'58.4" 22°22'2.3"
29	GKP w odległości 62m od anteny radioliniowej az. 304°	2.0	1.3	1.3	1.3	1.8	0.07	53°49'58.8" 22°22'1.2"
30	GKP w odległości 2m od anteny sektorowej az. 310°	0.3-2.0	<1.0*	<1.0*	<1.0*	1.4	0.05	53°49'57.7" 22°22'4.1"
31	GKP w odległości 22m od anteny sektorowej az. 310°	2.0	1.8	1.8	1.8	2.5	0.09	53°49'58.1" 22°22'3.0"
32	GKP w odległości 57m od anteny sektorowej az. 310°	2.0	**2.2**	**2.2**	**2.2**	3.1	0.11	53°49'58.4" 22°22'2.3"
33	GKP w odległości 62m od anteny sektorowej az. 310°	2.0	1.5	1.5	1.5	2.1	0.08	53°49'59.2" 22°22'1.6"
34	GKP w odległości 82m od anteny sektorowej az. 310°	0.3-2.0	<1.0*	<1.0*	<1.0*	1.4	0.05	53°49'59.5" 22°22'0.5"
35	GKP w odległości 107m od anteny sektorowej az. 310°	0.3-2.0	<1.0*	<1.0*	<1.0*	1.4	0.05	53°49'59.9" 22°21'59.4"
36	GKP w odległości 4m od anteny radioliniowej az. 0°	0.3-2.0	<1.0*	<1.0*	<1.0*	1.4	0.05	53°49'58.1" 22°22'4.4"
37	GKP w odległości 25m od anteny radioliniowej az. 0°	2.0	1.4	1.4	1.4	2	0.07	53°49'58.8" 22°22'4.4"
38	GKP w odległości 64m od anteny radioliniowej az. 0°	0.3-2.0	<1.0*	<1.0*	<1.0*	1.4	0.05	53°49'59.9" 22°22'4.4"
39	GKP w odległości 81m od anteny radioliniowej az. 0°	0.3-2.0	<1.0*	<1.0*	<1.0*	1.4	0.05	53°50'0.6" 22°22'4.4"
40	PPP narożnik budynku	0.3-2.0	<1.0*	<1.0*	<1.0*	1.4	0.05	53°49'59.5" 22°22'5.5"
41	PPP w wejściu do budynku	0.3-2.0	<1.0*	<1.0*	<1.0*	1.4	0.05	53°49'58.1" 22°22'5.9"
42	PPP budynek stacji, ostatnie piętro,	0.3-2.0	<1.0*	<1.0*	<1.0*	1.4	0.05	53°49'57.4" 22°22'4.1"

Sprawozdanie z badań bez pisemnej zgody laboratorium nie może być powielane inaczej niż w całości.
Wynik przedstawione w niniejszym sprawozdaniu odnoszą się wyłącznie do badanego obiektu i do warunków i konfiguracji urządzeń w dniu wykonywania pomiarów.

	klatka schodowa							
43	PPP na az. 132° w odległości 38m od anteny radioliniowej az. 112°	2.0	1.6	1.6	1.6	2.2	0.08	53°49'57.0" 22°22'5.9"
-	GKP w odległości 283m od anteny sektorowej az. 70°	0.3-2.0	<1.0*	<1.0*	<1.0*	1.4	0.05	53°50'0.6" 22°22'19.2"
-	GKP w odległości 299m od anteny sektorowej az. 190°	0.3-2.0	<1.0*	<1.0*	<1.0*	1.4	0.05	53°49'47.6" 22°22'1.6"
-	GKP w odległości 253m od anteny sektorowej az. 310°	0.3-2.0	<1.0*	<1.0*	<1.0*	1.4	0.05	53°50'3.1" 22°21'53.3"

Pole magnetyczne (wyznaczone na podstawie pomiaru wartości natężenia pola elektrycznego)

Nr pionu	Opis umiejscowienia pionu (punktu) pomiarowego	Wysokość pomiaru [m]	Wartość natężenia pola magnetycznego H [A/m][1]			Wartość natężenia pola magnetycznego powiększona o niepewność pomiaru[4] H [A/m]	Wskaźnikowa wartość poziomu emisji pól elektromagnetycznych WM_H[3]	Współrzędne geograficzne pionu (punktu) pomiarowego[2]
			Sonda S-19	Sonda S-20	SUMA			
1	GKP w odległości 31m od anteny sektorowej az. 70°	2.0	0.003	0.003	0.003	0.005	0.07	53°49'57.7" 22°22'6.2"
2	GKP w odległości 58m od anteny sektorowej az. 70°	2.0	0.005	0.005	0.005	0.006	0.09	53°49'58.1" 22°22'7.7"
3	GKP w odległości 82m od anteny sektorowej az. 70°	2.0	0.004	0.004	0.004	0.006	0.08	53°49'58.1" 22°22'9.1"
4	GKP w odległości 106m od anteny sektorowej az. 70°	0.3-2.0	<0.003*	<0.003*	<0.003*	0.004	0.05	53°49'58.4" 22°22'10.2"
5	GKP w odległości 29m od anteny radioliniowej az. 112°	0.3-2.0	<0.003*	<0.003*	<0.003*	0.004	0.05	53°49'57.4" 22°22'5.9"
6	GKP w odległości 56m od anteny radioliniowej az. 112°	0.3-2.0	<0.003*	<0.003*	<0.003*	0.004	0.05	53°49'57.0" 22°22'7.3"
7	GKP w odległości 71m od anteny radioliniowej az. 112°	0.3-2.0	<0.003*	<0.003*	<0.003*	0.004	0.05	53°49'57.0" 22°22'8.0"
8	GKP w odległości 6m od anteny radioliniowej az. 151°	0.3-2.0	<0.003*	<0.003*	<0.003*	0.004	0.05	53°49'57.0" 22°22'4.8"
9	GKP w odległości 27m od anteny radioliniowej az. 151°	0.3-2.0	<0.003*	<0.003*	<0.003*	0.004	0.05	53°49'56.6" 22°22'5.5"
10	GKP w odległości 5m od anteny radioliniowej az. 188°	0.3-2.0	<0.003*	<0.003*	<0.003*	0.004	0.05	53°49'57.0" 22°22'4.4"
11	GKP w odległości 25m od anteny radioliniowej az. 188°	2.0	0.003	0.003	0.003	0.005	0.07	53°49'56.3" 22°22'4.4"
12	GKP w odległości 2m od anteny sektorowej az. 190°	0.3-2.0	<0.003*	<0.003*	<0.003*	0.004	0.05	53°49'57.0" 22°22'4.4"
13	GKP w odległości 22m od anteny sektorowej az. 190°	2.0	0.004	0.004	0.004	0.006	0.08	53°49'56.6" 22°22'4.1"
14	GKP w odległości	2.0	0.004	0.004	0.004	0.006	0.08	53°49'56.3"

Sprawozdanie z badań bez pisemnej zgody laboratorium nie może być powielane inaczej niż w całości.
Wynik przedstawione w niniejszym sprawozdaniu odnoszą się wyłącznie do badanego obiektu i do warunków i konfiguracji urządzeń w dniu wykonywania pomiarów.

	32m od anteny sektorowej az. 190°							22°22'4.1"
15	GKP w odległości 94m od anteny sektorowej az. 190°	0.3-2.0	<0.003*	<0.003*	<0.003*	0.004	0.05	53°49'54.1" 22°22'3.4"
16	GKP w odległości 31m od anteny radioliniowej az. 225°	0.3-2.0	<0.003*	<0.003*	<0.003*	0.004	0.05	53°49'56.6" 22°22'3.4"
17	GKP w odległości 50m od anteny radioliniowej az. 225°	0.3-2.0	<0.003*	<0.003*	<0.003*	0.004	0.05	53°49'55.9" 22°22'2.6"
18	GKP w odległości 71m od anteny radioliniowej az. 225°	0.3-2.0	<0.003*	<0.003*	<0.003*	0.004	0.05	53°49'55.6" 22°22'1.6"
19	GKP w odległości 74m od anteny radioliniowej az. 226°	0.3-2.0	<0.003*	<0.003*	<0.003*	0.004	0.05	53°49'55.9" 22°22'1.2"
20	GKP w odległości 96m od anteny radioliniowej az. 226°	0.3-2.0	<0.003*	<0.003*	<0.003*	0.004	0.05	53°49'55.6" 22°22'0.1"
21	GKP w odległości 80m od anteny radioliniowej az. 227°	0.3-2.0	<0.003*	<0.003*	<0.003*	0.004	0.05	53°49'55.9" 22°22'0.8"
22	GKP w odległości 96m od anteny radioliniowej az. 227°	0.3-2.0	<0.003*	<0.003*	<0.003*	0.004	0.05	53°49'55.6" 22°22'0.1"
23	GKP w odległości 88m od anteny radioliniowej az. 229°	0.3-2.0	<0.003*	<0.003*	<0.003*	0.004	0.05	53°49'55.9" 22°22'0.5"
24	GKP w odległości 61m od anteny radioliniowej az. 272°	0.3-2.0	<0.003*	<0.003*	<0.003*	0.004	0.05	53°49'57.4" 22°22'1.2"
25	GKP w odległości 90m od anteny radioliniowej az. 272°	0.3-2.0	<0.003*	<0.003*	<0.003*	0.004	0.05	53°49'57.4" 22°21'59.4"
26	GKP w odległości 2m od anteny radioliniowej az. 304°	0.3-2.0	<0.003*	<0.003*	<0.003*	0.004	0.05	53°49'57.7" 22°22'4.1"
27	GKP w odległości 22m od anteny radioliniowej az. 304°	2.0	0.006	0.006	0.006	0.008	0.11	53°49'58.1" 22°22'3.0"
28	GKP w odległości 42m od anteny radioliniowej az. 304°	2.0	0.005	0.005	0.005	0.006	0.09	53°49'58.4" 22°22'2.3"
29	GKP w odległości 62m od anteny radioliniowej az. 304°	2.0	0.003	0.003	0.003	0.005	0.07	53°49'58.8" 22°22'1.2"
30	GKP w odległości 2m od anteny sektorowej az. 310°	0.3-2.0	<0.003*	<0.003*	<0.003*	0.004	0.05	53°49'57.7" 22°22'4.1"
31	GKP w odległości 22m od anteny sektorowej az. 310°	2.0	0.005	0.005	0.005	0.007	0.09	53°49'58.1" 22°22'3.0"
32	GKP w odległości 57m od anteny sektorowej az. 310°	2.0	**0.006**	**0.006**	0.006	0.008	0.11	53°49'58.4" 22°22'2.3"
33	GKP w odległości 62m od anteny sektorowej az. 310°	2.0	0.004	0.004	0.004	0.006	0.08	53°49'59.2" 22°22'1.6"

Sprawozdanie z badań bez pisemnej zgody laboratorium nie może być powielane inaczej niż w całości.
Wynik przedstawione w niniejszym sprawozdaniu odnoszą się wyłącznie do badanego obiektu i do warunków i konfiguracji urządzeń w dniu wykonywania pomiarów.

34	GKP w odległości 82m od anteny sektorowej az. 310°	0.3-2.0	<0.003*	<0.003*	<0.003*	0.004	0.05	53°49'59.5" 22°22'0.5"
35	GKP w odległości 107m od anteny sektorowej az. 310°	0.3-2.0	<0.003*	<0.003*	<0.003*	0.004	0.05	53°49'59.9" 22°21'59.4"
36	GKP w odległości 4m od anteny radioliniowej az. 0°	0.3-2.0	<0.003*	<0.003*	<0.003*	0.004	0.05	53°49'58.1" 22°22'4.4"
37	GKP w odległości 25m od anteny radioliniowej az. 0°	2.0	0.004	0.004	0.004	0.005	0.07	53°49'58.8" 22°22'4.4"
38	GKP w odległości 64m od anteny radioliniowej az. 0°	0.3-2.0	<0.003*	<0.003*	<0.003*	0.004	0.05	53°49'59.9" 22°22'4.4"
39	GKP w odległości 81m od anteny radioliniowej az. 0°	0.3-2.0	<0.003*	<0.003*	<0.003*	0.004	0.05	53°50'0.6" 22°22'4.4"
40	PPP narożnik budynku	0.3-2.0	<0.003*	<0.003*	<0.003*	0.004	0.05	53°49'59.5" 22°22'5.5"
41	PPP w wejściu do budynku	0.3-2.0	<0.003*	<0.003*	<0.003*	0.004	0.05	53°49'58.1" 22°22'5.9"
42	PPP budynek stacji, ostatnie piętro, klatka schodowa	0.3-2.0	<0.003*	<0.003*	<0.003*	0.004	0.05	53°49'57.4" 22°22'4.1"
43	PPP na az. 132° w odległości 38m od anteny radioliniowej az. 112°	2.0	0.004	0.004	0.004	0.006	0.08	53°49'57.0" 22°22'5.9"
-	GKP w odległości 283m od anteny sektorowej az. 70°	0.3-2.0	<0.003*	<0.003*	<0.003*	0.004	0.05	53°50'0.6" 22°22'19.2"
-	GKP w odległości 299m od anteny sektorowej az. 190°	0.3-2.0	<0.003*	<0.003*	<0.003*	0.004	0.05	53°49'47.6" 22°22'1.6"
-	GKP w odległości 253m od anteny sektorowej az. 310°	0.3-2.0	<0.003*	<0.003*	<0.003*	0.004	0.05	53°50'3.1" 22°21'53.3"

GKP – Główny Kierunek Pomiarowy
PPP – Pomocniczy Pion pomiarowy
[1] wyniki oznaczone * są wynikami poniżej czułości zestawu pomiarowego
[2] współrzędne geograficzne pozyskane metodą pomiaru bezpośredniego
[3] do wyznaczenia wartości wskaźnikowej WM_E i WM_H przyjęto na podstawie uzgodnień z klientem oraz rozpoznania źródeł, jako wartości dopuszczalne pola elektrycznego i magnetycznego odpowiednio 28 V/m i 0,073 A/m.
[4] do wyznaczenia niepewności dla wyników poniżej czułości zestawu pomiarowego, przyjęto niepewność dla minimalnej wartości z zakresu pomiarowego.
[5] maksymalna wartość chwilowa
Niepewność oszacowano zgodnie z dokumentem P-03 „Procedura nadzoru nad wyposażeniem" w postaci niepewności rozszerzonej wynikającej z niepewności standardowej pomnożonej przez współczynnik rozszerzenia k=2.
Całkowita szacowana niepewność rozszerzona składowej E wynosi odpowiednio:
sonda S-19: 40.4% dla częstotliwości do 3 GHz, sonda S-20: 29.4% dla częstotliwości do 3 GHz

Umiejscowienie pionów (punktów) pomiarowych przedstawiono w załączniku nr 2 do niniejszego sprawozdania.

10. Omówienie wyników pomiarów

W związku z tym, że żadna z wartości zmierzonych, udokumentowanych w tabelach w pkt. 9, uzyskanych w skutek zastosowania pomiaru szerokopasmowego, powiększonego o rozszerzoną niepewność pomiaru U dla współczynnika rozszerzenia k = 2 nie przekroczyła 70% najniższej dopuszczalnej wartości składowej elektrycznej lub

Sprawozdanie z badań bez pisemnej zgody laboratorium nie może być powielane inaczej niż w całości.
Wynik przedstawione w niniejszym sprawozdaniu odnoszą się wyłącznie do badanego obiektu i do warunków i konfiguracji urządzeń w dniu wykonywania pomiarów.

magnetycznej pola dla objętych pomiarami zakresów częstotliwości, nie uwzględnia się poprawek pomiarowych.

W wyniku zastosowania sposobu sprawdzenia dotrzymania dopuszczalnych poziomów pól elektromagnetycznych w środowisku, zgodnie pkt 25 ppkt 1 Rozporządzenia Ministra Klimatu z dnia 17 lutego 2020 r. (Dz. U. 2020, poz. 258 z późn. zm. w Dz.U. 2022 poz. 1121), w związku z tym, że żadna z wartości wskaźnikowych, udokumentowanych w tabelach w pkt. 9 nie przekracza wartości 1, stwierdza się, że w miejscach, w których wykonano pomiary w otoczeniu instalacji radiokomunikacyjnej 24589 (43008N!) GEC_ELK_WSCHOD, dopuszczalne poziomy pól elektromagnetycznych w środowisku należy uznać za dotrzymane.

11. Podstawa prawna

1) Ustawa z dnia 27 kwietnia 2001 r. Prawo ochrony środowiska (t. j. Dz. U. z 2021 r., poz. 1973 z późn.zm.)
2) Rozporządzenie Ministra Zdrowia z dnia 17 grudnia 2019 r. w sprawie dopuszczalnych poziomów pól elektromagnetycznych w środowisku (Dz. U. 2019, poz. 2448)
3) Rozporządzenie Ministra Klimatu z dnia 17 lutego 2020 r. w sprawie sposobów sprawdzania dotrzymania dopuszczalnych poziomów pól elektromagnetycznych w środowisku (Dz. U. 2020, poz. 258 z późn. zm. w Dz.U. 2022 poz. 1121),
4) Akredytacja nr AB 419 wydana przez Polskie Centrum Akredytacji (wydanie 20, z dnia 10 czerwca 2022r.).

12. Spis załączników

Załącznik 1. Lokalizacja obiektu badań
Załącznik 2. Usytuowanie pionów (punktów) pomiarowych
Załącznik 3. Dokumentacja fotograficzna obiektu badań

13. Data wydania i autoryzowania sprawozdania

Obliczenia i sprawozdanie wykonał :

Signed by /
Podpisano przez:

Agnieszka Harbacewicz

Date / Data: 2023-02-17 14:06

Sprawozdanie autoryzował:

Signed by /
Podpisano przez:

Anna Kacperska

Date / Data: 2023-02-20 07:36

Koniec sprawozdania

Sprawozdanie z badań bez pisemnej zgody laboratorium nie może być powielane inaczej niż w całości.
Wynik przedstawione w niniejszym sprawozdaniu odnoszą się wyłącznie do badanego obiektu i do warunków i konfiguracji urządzeń w dniu wykonywania pomiarów.

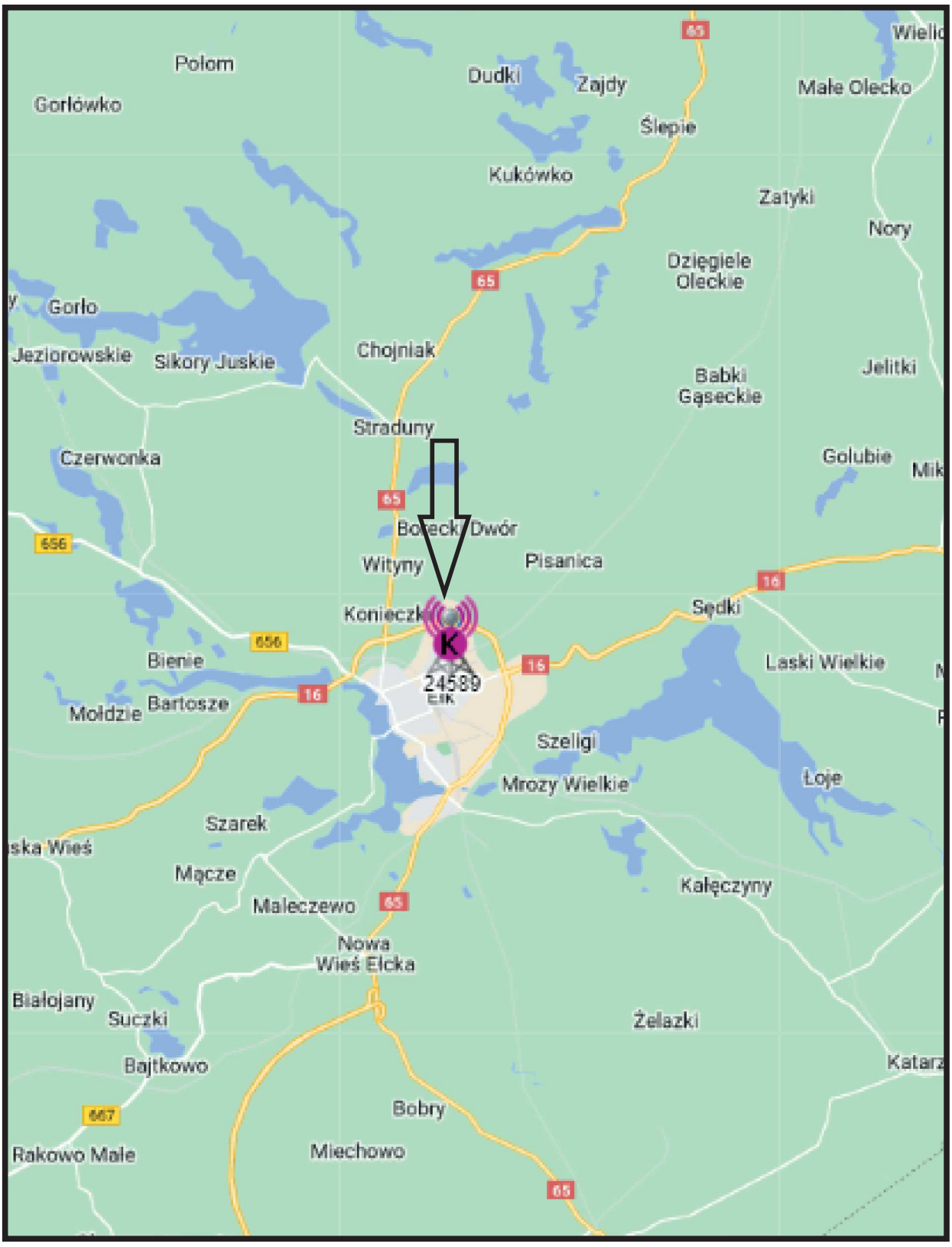

Załącznik nr 1	**INSTALACJA RADIOKOMUNIKACYJNA T-Mobile Polska S.A.** 24589 (43008N!) GEC_ELK_WSCHOD Lokalizacja instalacji radiokomunikacyjnej

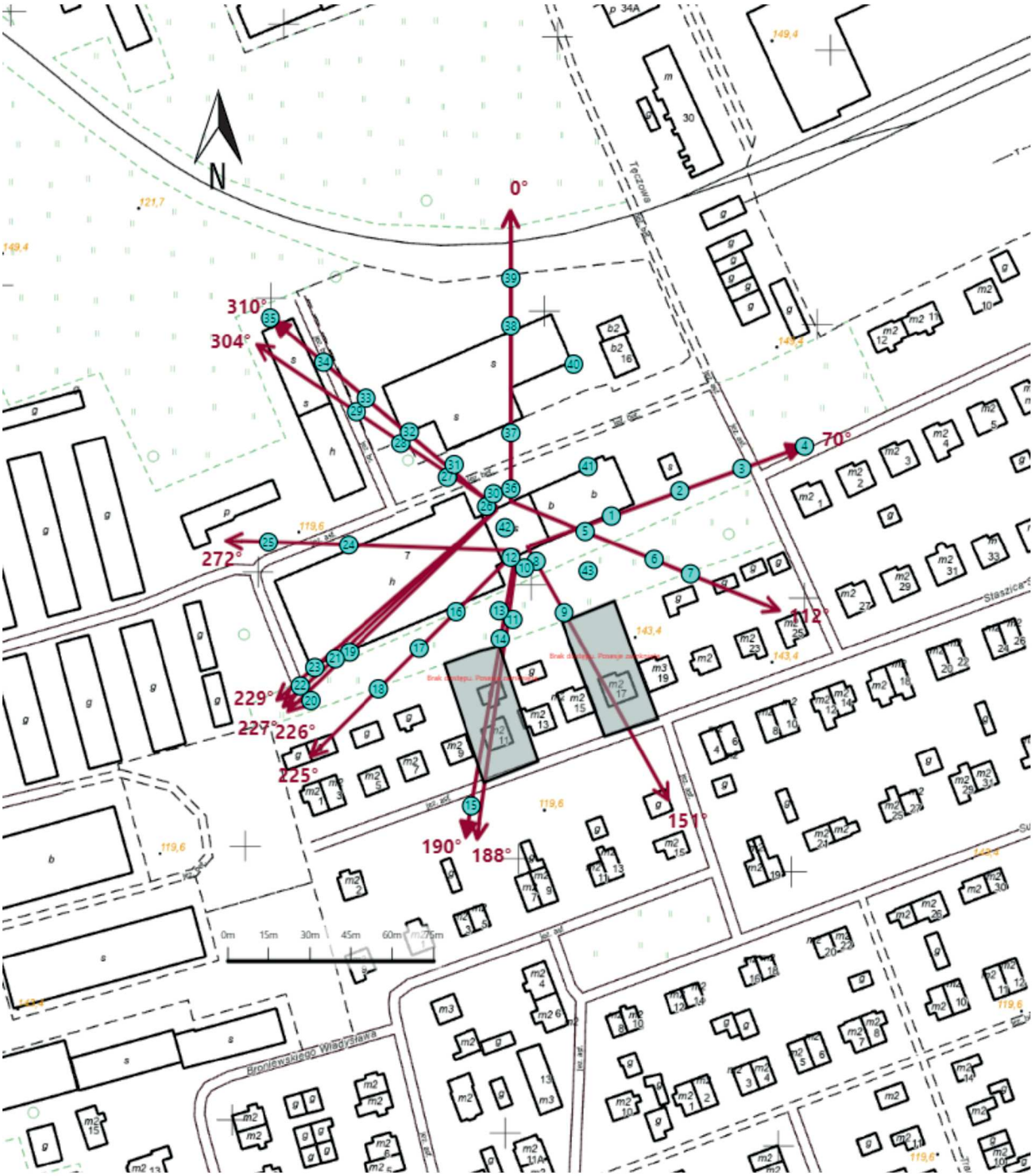

Załącznik nr 2	Instalacja radiokomunikacyjna T-Mobile Polska S.A. GEC_ELK_WSCHOD (43008N!) Usytuowanie pionów pomiarowych w otoczeniu instalacji radiokomunikacyjnej
	Legenda: Pion pomiarowy Kierunek oddziaływania anten sektorowych Kierunek oddziaływania anten radioliniowych

Załącznik nr 3	**INSTALACJA RADIOKOMUNIKACYJNA T-Mobile Polska S.A.** 24589 (43008N!) GEC_ELK_WSCHOD Zdjęcia instalacji radiokomunikacyjnej